



# PRODUÇÃO DE BIOCOMBUSTÍVEIS POR PIRÓLISE CATALÍTICA DE ÓLEO DE FRITURA COM HIDROXIAPATITA IMPREGNADA COM **NÍQUEL.**

Magno K. A. Sena<sup>1\*</sup>; Kauã F. de L. Couto<sup>1</sup>; Lucas G. G. do Nascimento<sup>1</sup>; Aruzza M. de M. Araújo<sup>1</sup>; Carlos A. Martinez-Hiltle<sup>1</sup>: Amanda D. Gondim<sup>1</sup>.

<sup>1</sup>Laboratório de Análises Ambientais Processamento Primário e Biocombustíveis (LABPROBIO-NUPPRAR), Universidade Federal do Rio Grande do Norte (UFRN), Campus Natal-RN – magnosena3@gmail.com\*.

## Resumo/Abstract

RESUMO - A queima de combustíveis fósseis causa impactos ambientais e sociais significativos, incentivando a busca por fontes renováveis de energia. A pirólise do óleo de fritura residual é uma alternativa viável para a produção de biocombustíveis. Neste trabalho, foram utilizados catalisadores de hidroxiapatita pura (HA) e hidroxiapatita impregnada com 10% de níquel (10% NiHA). As amostras foram caracterizadas por difração de raios X, espectroscopia vibracional na região do infravermelho por transformada de Fourier, fluorescência de raio X e análise termogravimétrica, que confirmaram a formação da fase desejada, estabilidade térmica e presença de grupos funcionais. A acidez foi determinada por dessorção de n-butilamina, com destaque para os sítios fortes: 0,3391 mmol/g (HA) e 0,3664 mmol/g (10% NiHA). A cinética foi avaliada pelos modelos de Ozawa-Flynn-Wall e Kissinger-Akahira-Sunose, com R<sup>2</sup> próximos de 1,0. A menor energia de ativação para 10% NiHA ocorreu com 60% de conversão com valores de 155 kJ/mol (OFW) e 175 kJ/mol (KAS). O rendimento de hidrocarbonetos C8-C16 alcancou 36%, superior às demais condições.

Palavras-chave:pirólise; óleo de fritura; estudo cinético; hidroxiapatita; biocombustíveis.

ABSTRACT - The combustion of fossil fuels causes significant environmental and social impacts, encouraging the search for renewable energy sources. The pyrolysis of residual frying oil is a viable alternative for biofuel production. In this study, pure hydroxyapatite (HA) and hydroxyapatite impregnated with 10% nickel (10%NiHA) were used as catalysts. The samples were characterized by X-ray diffraction, Fourier-transform infrared vibrational spectroscopy, X-ray fluorescence, and thermogravimetric analysis, which confirmed the formation of the desired phase, thermal stability, and the presence of functional groups. Acidity was determined by n-butylamine desorption, highlighting the strong acid sites: 0.3391 mmol/g for HA and 0.3664 mmol/g for 10%NiHA. Kinetics were evaluated using the Ozawa-Flynn-Wall and Kissinger-Akahira-Sunose models, with R<sup>2</sup> values close to 1.0. The lowest activation energy for 10% NiHA occurred at 60% conversion, with values of 155 kJ/mol (OFW) and 175 kJ/mol (KAS). The C8-C16 hydrocarbon yield reached 36%, higher than the other conditions.

Keywords: pyrolysis; frying oil; kinetic study; hydroxyapatite; biofuels.

# Introdução

Os impactos ambientais e sociais decorrentes da elevada emissão de gases de efeito estufa têm incentivado a comunidade científica a buscar fontes de energia mais sustentáveis e renováveis1. Nesse cenário, os lipídios naturais, compostos principalmente por triglicerídeos, destacam-se como matérias-primas importantes para a produção de biocombustíveis líquidos e de produtos químicos de alto valor agregado, por meio de processos termocatalíticos<sup>2,3</sup>. Entre as alternativas disponíveis, os óleos residuais se apresentam como uma das mais relevantes, pois seu reaproveitamento na produção de combustíveis não compete com o setor alimentício e contribui significativamente para a redução dos impactos ambientais causados pelo descarte inadequado em rios, lagoas e efluentes. Além disso, sua reutilização pode diminuir os custos de tratamento de água e esgoto nas estações de tratamento que lidam com essa carga lipídica.

A pirólise catalítica envolve etapas fundamentais como desoxigenação, isomerização e aromatização. Dentre essas, a desoxigenação catalítica de lipídeos é essencial para aprimorar a qualidade e a estabilidade dos produtos obtidos 1. A análise cinética das reações de pirólise é uma ferramenta crucial para compreender a dinâmica reacional, permitindo identificar os catalisadores mais eficientes no processo de desoxigenação. Além disso, essa análise possibilita a determinação das energias de ativação (Ea) ao longo de todo o processo de conversão, sendo esses valores fundamentais para elucidar os mecanismos reacionais envolvidos<sup>3</sup>.

A comunidade científica tem se empenhado no desenvolvimento de catalisadores de desoxigenação que sejam simultaneamente eficientes e economicamente



viáveis. Os catalisadores metálicos convencionais, como os baseados em Pd, Pt, Ru e Rh, embora altamente eficazes, apresentam custos elevados, mesmo quando suportados em materiais de baixo custo como carbono, TiO<sub>2</sub>, SiO<sub>2</sub>, ZrO<sub>2</sub>, Al<sub>2</sub>O<sub>3</sub> e peneiras moleculares como as zeólitas<sup>2</sup>. Diante disso, torna-se imprescindível a busca por alternativas mais sustentáveis, utilizando matérias-primas de menor custo e menor impacto ambiental para a síntese de catalisadores.

Nesse contexto, o uso de fontes alternativas de cálcio, como cascas de ovos, ossos e outros resíduos ricos nesse elemento, representa uma abordagem de baixo custo para a síntese de hidroxiapatita. Esse material pode ser obtido por meio de rotas sintéticas simples, com reduzida complexidade operacional, além de apresentar elevada versatilidade para modificações estruturais por impregnação com metais<sup>4</sup>. Diante disso, o presente trabalho tem como objetivo avaliar a síntese de hidroxiapatita a partir de cascas de ovos de galinha (Gallus gallus domesticus) e sua aplicação como catalisador na conversão termocatalítica de óleo residual de fritura via processo de pirólise. Pretende-se, ainda, analisar se os produtos obtidos se enquadram na faixa de hidrocarbonetos compatíveis com o combustível sustentável de aviação (SAF), bem como realizar o estudo cinético da reação entre o óleo residual e os catalisadores sintetizados.

## Experimental

Síntese dos catalisadores

O catalisador de hidroxiapatita (HA) foi preparado conforme o procedimento descrito na por J. Dobosz e colaboradores<sup>5</sup>. Para obter o catalisador com 10 % em massa de níquel (10 %NiHA), a HA foi impregnada por umidade nitrato incipiente com solução de de hexahidratado (Ni(NO<sub>3</sub>)<sub>2</sub>·6H<sub>2</sub>O) na proporção 10 % (m/m) Ni em relação ao suporte. Após a secagem, a amostra 10 %NiHA foi calcinada em ar estático com rampas de aquecimento de 5 °C min<sup>-1</sup> até 150 °C (1 h), 250 °C (2 h) e 550 °C (4 h).

## Caracterização dos catalisadores

Os catalisadores sintetizados foram caracterizados por Difração de raios X (DRX) em difratômetro Bruker D2 Phaser (CuK $\alpha$ ,  $\lambda$ =1,5406 Å; 30 kV, 10 mA; detector LynxEye;  $2\theta$  = 10–60°; passo 0,017°; tempo de contagem 0,1 s; fenda divergente 0,6 mm, receptora 1 mm). Espectroscopia Vibracional na Região do Infravermelho por Transformada de Fourier FTIR (ATR/transmissão) em Nicolet Summit (Thermo Scientific) de 4000 a 600 cm<sup>-1</sup>, 64 varreduras, resolução de 4 cm<sup>-1</sup>. Análise termogravimétrica e derivada (TGA/DTG) em balança Shimadzu DTG-60, ~10 mg de amostra em cadinho de alumina, sob fluxo de N<sub>2</sub>. Fluorescência de Raios-X por dispersão de energia (EDX) em um aparelho BRUKER S2 PUMA - SERIES II, utilizando tubo de Pd com potência máxima de 50 W,



voltagem máxima de 50 kV, corrente máxima de 1 mA e detector HighSense Silicon Drift Detector (HighSense SDD). Acidez superficial determinada pela dessorção de n-butilamina conforme descrito por Evangelista e colaboradores <sup>6</sup>.

#### Estudo Cinético

Para o estudo cinético, foram adotados os modelos isoconversionais de Ozawa-Flynn-Wall (OFW) e Kissinger-Akahira-Sunose (KAS), conforme recomendado por diversos grupos de pesquisa<sup>7</sup>. Foram analisadas amostras de óleo de fritura residual (OF), bem como misturas contendo OF com 10% em massa de catalisadores HA e 10%NiHA. Aproximadamente 10 mg de cada amostra foram submetidos à análise térmica em cadinhos de alumina, sob atmosfera inerte de nitrogênio, com taxas de aquecimento de 10, 20, 30 e 40 °C/min, na faixa de temperatura de 30 a 600 °C.

Pirólise térmica e termocatalítica do Óleo de Fritura (OF)

Os experimentos de pirólise foram realizados em um forno de leito fixo modelo Flyever FT-1200. As amostras foram depositadas em barquetas de vidro e inseridas em um reator cilíndrico de vidro borossilicato, sob fluxo contínuo de nitrogênio (150 mL/min). O sistema foi acoplado a um balão de duas bocas, imerso em banho termostático (Modelo SL 152 – Salab) mantido a 5 °C, com o objetivo de condensar os produtos voláteis.

A pirólise térmica do óleo de fritura residual (OF) e a pirólise catalítica, contendo 10% em massa de catalisador (HA ou 10%NiHA), foram conduzidas utilizando as seguintes rampas de aquecimento:

- 30 °C/min de 300 °C a 350 °C, mantido por 8 minutos;
- 10 °C/min de 400 °C a 520 °C, mantido por 10 minutos.

As reações foram identificadas da seguinte forma: P1 para a pirólise térmica do óleo de fritura, P2 para a pirólise catalítica com HA, e P3 para a pirólise catalítica com 10%NiHA. Os ensaios foram realizados em duplicata com o objetivo de estimar a margem de erro nas quantificações das frações dos produtos sólido, líquido e gasoso.

As amostras de bio-óleo foram previamente derivatizadas e analisadas por cromatografia gasosa acoplada à espectrometria de massas (CGMS), utilizando um equipamento modelo ISQ da Thermo Scientific. A separação cromatográfica foi realizada em uma coluna DB-5MS (Restek) com dimensões de 30 m × 0,25 mm × 0,25 μm, utilizando hélio (99,999% de pureza) como gás de arraste, com fluxo constante de 1,0 mL/min. O programa de temperatura do forno consistiu em: 60 °C por 5 minutos, seguido de aquecimento até 330 °C a uma taxa de 12 °C/min, permanecendo nesta temperatura por 12 minutos.

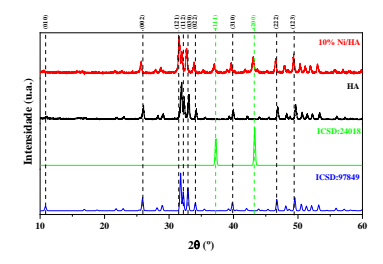


Para a derivatização, aproximadamente  $0,100\,\mathrm{g}$  de bioóleo foram pesados, e adicionaram-se  $300\,\mu\mathrm{L}$  de diclorometano,  $40\,\mu\mathrm{L}$  de piridina e  $80\,\mu\mathrm{L}$  do agente derivatizante MSTFA. A mistura foi aquecida em banho térmico por 30 minutos e, posteriormente, adicionou-se  $1\,\mathrm{mL}$  adicional de diclorometano antes da análise.

#### Resultados e Discussão

Caracterização da hidroxiapatita

Nos difratogramas apresentados na Figura 1, referentes às amostras HA e 10%NiHA, observa-se a formação de uma fase única, compatível com os padrões característicos da hidroxiapatita<sup>8</sup>. Os principais picos de difração foram identificados nos ângulos 2θ de 10,81; 25,87; 31,81; 32,22; 32,85; 34,12; 39,83; 43,69 e 49,49°, correspondendo aos planos cristalinos (hkl) (010), (002), (121), (112), (030), (022), (310), (222) e (123), respectivamente. Esses resultados estão em conformidade com a carta cristalográfica de referência, código ICSD: 978449. Confiando a estrutura hexagonal da hidroxiapatita de grupo espacial do tipo p 63/m.



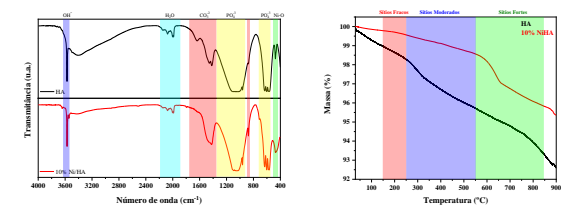
**Figura 1.** DRX da amostra 10%NiHA em vermelho HA em preto, Carta ICSD:24018 em verde para NiO e ICSD: 978449 em azul para Hidroxiapatita.

Os picos observados nas amostras de HA e 10% NiHA estão em conformidade com a carta cristalográfica de referência, confirmando a formação da estrutura cristalina da hidroxiapatita no suporte HA. Após a impregnação com níquel, a estrutura da hidroxiapatita é parcialmente preservada, embora se observe uma leve redução na cristalinidade, atribuída à presença de óxido de níquel (NiO). Na amostra contendo 10% de níquel, os picos localizados em  $2\theta = 37,26^{\circ}$  e 43,29° correspondem aos planos cristalinos (111) e (200), respectivamente, de acordo com a carta cristalográfica ICSD: 24018, confirmando a formação da fase de óxido de níquel na matriz da hidroxiapatita.

O espectro de infravermelho das amostras HA e 10%NiHA, apresentado na Figura 2a, exibe as principais bandas características associadas aos grupos hidroxila, carbonato e fosfato. A banda em 3572 cm<sup>-1</sup> é atribuída às vibrações de estiramento do grupo O–H, enquanto a região entre 2192 e 1922 cm<sup>-1</sup> corresponde à presença de moléculas



de H<sub>2</sub>O fisissorvidas na estrutura da hidroxiapatita. As bandas situadas entre 1765 e 1354 cm<sup>-1</sup>, assim como a banda em 872 cm<sup>-1</sup>, são associadas às vibrações do íon carbonato (CO<sub>3</sub><sup>2-</sup>), incorporado à estrutura da hidroxiapatita durante o processo de síntese. As bandas em 1064 cm<sup>-1</sup> e na região de 743 a 488 cm<sup>-1</sup> são atribuídas às vibrações de estiramento e flexão do grupo fosfato (P–O), característicos da hidroxiapatita<sup>3,8</sup>. Adicionalmente, a banda mais intensa observada em 465 cm<sup>-1</sup> na amostra 10%NiHA pode ser relacionada à vibração de estiramento da ligação Ni–O, indicando a presença de óxido de níquel na estrutura do catalisador.



**Figura 2.** a) FTIR da amostra HA em preto e 10% NiHA em vermelho e b) Curvas de TGA da dessorção de n-butilamina para as amostras de HA e 10% NiHA.

A análise termogravimétrica demonstra que a hidroxiapatita sintetizada possui elevada estabilidade térmica, apresentando perda de massa inferior a 2 %. Essa redução se deve principalmente à liberação de água fisissorvida e quimissorvida, bem como à perda gradual de grupos carbonato (CO<sub>3</sub><sup>2</sup>-) incorporados à estrutura. O catalisador 10 %NiHA exibe comportamento semelhante, com perdas atribuídas à desidratação e à descarbonatação<sup>3</sup>. Assim, ambos os materiais permanecem praticamente inalterados sob aquecimento, confirmando sua alta estabilidade térmica<sup>9</sup>.

Os sítios ácidos presentes na superfície da hidroxiapatita (HA) são originados, principalmente, das espécies P–OH e íons Ca<sup>2+</sup>. A quantificação desses sítios foi realizada por meio da análise das curvas de TGA referentes à dessorção de n-butilamina, conforme ilustrado na Figura 2b. De acordo com a literatura, a classificação dos sítios ácidos com base na temperatura de dessorção da n-butilamina é a seguinte: sítios fracos apresentam perdas de massa abaixo de 250 °C; sítios moderados entre 250 °C e 550 °C; e sítios fortes acima de 550 °C<sup>10</sup>.

Os dados de perda de massa pela dessorção de nbutiliamina foram utilizados para calcular a acidez dos catalisadores estão expressos na Tabela 1.

**Tabela 1.** Valores de acidez para os catalisadores HA e 10%NiHA

Amostra	Sítios Fracos <sup>a</sup>	Sítios Moderados <sup>b</sup>	Sítios fortes <sup>c</sup>	Acidez total
НА	0,0945	0,3703	0,3391	0,8039
	mmol/g	mmol/g	mmol/g	mmol/g



10%NiH	0,03193	0,1388	0,3664	0,5371
A	mmol/g	mmol/g	mmol/g	mmol/g

<sup>&</sup>lt;sup>a</sup> Faixa de 150 -250 °C

Os valores de acidez determinados para os sítios fracos, moderados e fortes na amostra de HA foram de 0,0945 mmol/g, 0,3703 mmol/g e 0,3391 mmol/g, respectivamente. Para o catalisador 10%NiHA, os valores correspondentes foram 0,03193 mmol/g (sítios fracos), 0,1388 mmol/g (moderados) e 0,3664 mmol/g (fortes). A acidez total das amostras foi de 0,8039 mmol/g para HA e 0,5371 mmol/g para 10%NiHA.

Ambos os catalisadores apresentaram valores de acidez total levemente superiores aos reportados na literatura<sup>10,11</sup>. No entanto, observa-se uma redução na acidez total após a incorporação de níquel à estrutura da hidroxiapatita. Essa diminuição pode estar associada ao processo de impregnação do óxido de níquel, que pode bloquear ou inativar parte dos sítios ácidos disponíveis na superfície do suporte.

A técnica de fluorescência de raios X (FRX) foi utilizada para determinar a composição elementar da hidroxiapatita sintetizada, bem como a carga de níquel incorporada à estrutura após o processo de impregnação. Os resultados obtidos estão apresentados na Tabela 2.

**Tabela 2.** Valores de FRX para as amostras de HA e 10%NiHA em óxidos.

Óxido encontrado —	Amostra		
Oxido encontrado —	HA (%)	10%NiHA (%)	
$Al_2O_3$	0,24	0,27	
$SiO_2$	0,23	0,20	
$P_2O_5$	37,99	32,51	
SrO	0,17	0,19	
CaO	60,55	52,13	
$Na_2O$	0,82	0,04	
NiO	-	14,66	

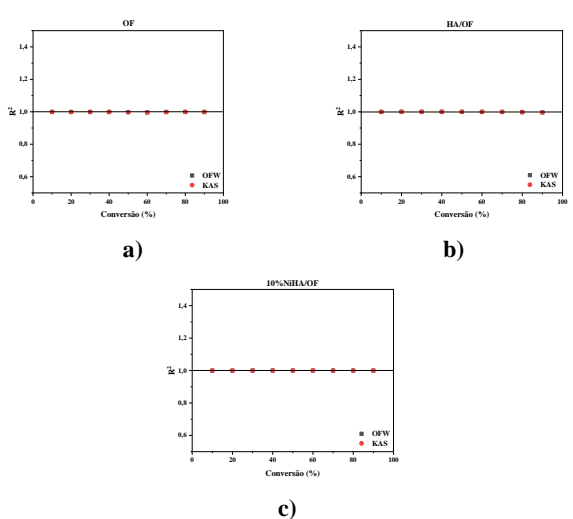
A razão ideal entre o cálcio e fosforo para formação da hidroxiapatita é Ca/P=1,67. Ao utilizar os óxidos de cálcio é pentaóxido de difosfato é possível determinar a razão molar após o procedimento de síntese, secagem, calcinação e impregnação da hidroxiapatita. A razão para HA foi de 1,59, enquanto, 10%NiHA foi de 1,60. Alguns autores relatam que a formação da hidroxiapatita entre 1,58 à 1,70, valores maiores ou baixos ocorre a formação de outros fosfatos de cálcio como por exemplo o beta trifosfato de cálcio. A quantidade de massa de níquel na estrutura do catalisador 10%NiHA foi determinada utilizando a porcentagem de óxido de níquel identificado no FRX, após cálculos foi de determinado uma concentração de 11,51% de massa do metal na estrutura da hidroxiapatita.

Estudo Cinético do OF, HA/OF e 10%NiHA/OF



Os gráficos de conversão em porcentagem (%) com os respectivos coeficientes de correlação (R²) para as três amostras são apresentados na Figura 3. Observa-se que ambos os modelos cinéticos, Ozawa-Flynn-Wall (OFW) e Kissinger-Akahira-Sunose (KAS), apresentaram excelente linearidade, com valores de R² próximos de 1,0. Isso indica que as amostras de óleo de fritura (OF), HA/OF e 10%NiHA/OF se ajustaram adequadamente aos dois modelos matemáticos aplicados.

Esses resultados demonstram que ambos os modelos podem ser utilizados de forma confiável para descrever o comportamento cinético das reações de pirólise das amostras. Assim, a escolha de um modelo em detrimento do outro não compromete a compreensão da cinética reacional entre o óleo de fritura residual e os catalisadores avaliados.



**Figura 3.** Gráficos de R<sup>2</sup> para o estudo cinético dos métodos de OFW e KAS para as amostras a) OF, b)HA/OF e c) 10%NiHA/OF.

A Figura 4 apresenta as curvas de Energia de Ativação (Ea) em função da conversão para os modelos iso-conversionais OFW e KAS. Em ambos os casos, a presença de catalisador reduziu significativamente a Ea em comparação com o óleo de fritura puro (OF), indicando que os catalisadores facilitam a conversão do substrato. Entre os materiais avaliados, o catalisador 10 %NiHA mostrou o desempenho mais expressivo, exibindo valores de Ea inferiores aos do sistema HA/OF ao longo de toda a faixa de conversão.

A partir de ~60 % de conversão, observa-se uma estabilização da Ea em torno de 155 kJ mol<sup>-1</sup> (OFW) e 175 kJ mol<sup>-1</sup> (KAS) para o catalisador contendo níquel. Esse comportamento sugere que o 10 %NiHA é particularmente eficiente na etapa de descarboxilação durante a pirólise do óleo de fritura<sup>7</sup>. A baixa Ea, associada à predominância de sítios ácidos fortes nesse catalisador, corrobora a melhoria

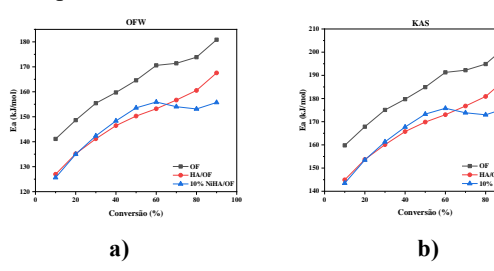
a Faixa de 250 -550 °C

c Faixa de 550-850 °C



da cinética de descarbonização dos ácidos graxos presentes no óleo residual.

O processo de descarboxilação de óleos vegetais é uma etapa fundamental para a formação de hidrocarbonetos via pirólise catalítica. Portanto, a diminuição da Energía de ativação é estabilidade a partir ~60% é um forte indicio que as reações de descarboxilação, entretanto, a energia calculada pelos métodos também está relacionada as reações de craqueamento, isomerização e aromatização dos produtos pirolíticos.



**Figura 4.** Apresenta os valores de conversão por Energia de Ativação (Ea) para os modelos cinéticos de OFW e KAS para as três amostras.

O aumento progressivo da energia de ativação (Ea) com o avanço da conversão do óleo pode estar associado à formação de coque na superfície do catalisador ou à polimerização de produtos intermediários. No entanto, a curva correspondente ao catalisador 10%NiHA (representada em azul) apresenta uma estabilização da Ea a partir de aproximadamente 60% de conversão. Esse comportamento sugere que, a partir desse ponto, a formação de coque é limitada espacialmente ou que os produtos poliméricos são estabilizados, impedindo o bloqueio dos sítios ativos<sup>7</sup>.

Consequentemente, o catalisador contendo níquel demonstra maior eficiência na pirólise termocatalítica do óleo de fritura, com potencial para proporcionar melhores rendimentos e estabilidade operacional. Além disso, a menor tendência à desativação por coque indica que a regeneração do catalisador pode ser realizada de forma mais simples e com menor custo<sup>1</sup>.

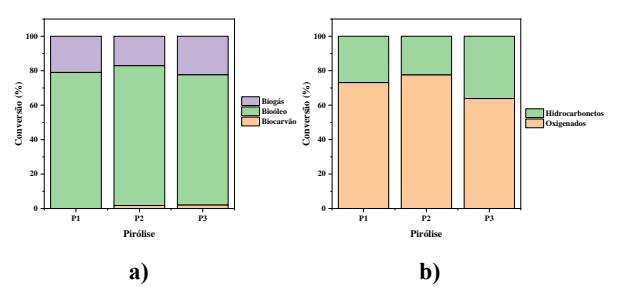
# Pirólise térmica e termocatalítica do óleo de fritura

Os rendimentos das pirólises são apresentados na Figura 5a, sendo P1 referente à amostra de óleo de fritura (OF), P2 à amostra contendo hidroxiapatita calcinada (HA) e P3 à amostra com o catalisador 10%NiHA. As três frações obtidas — sólida, líquida e gasosa — não apresentaram variações significativas entre as pirólises P1 e P2, com valores muito próximos. No entanto, a pirólise P3 demonstrou um leve aumento na fração gasosa, possivelmente relacionado à maior atividade catalítica promovida pela presença do níquel<sup>1,10</sup>.

A Figura 5b apresenta os rendimentos da fração líquida, correspondente ao bio-óleo obtido por pirólise térmica e



termocatalítica. Observa-se que não houve variações significativas entre as amostras P1 (pirólise térmica do OF) e P2 (pirólise com HA), sugerindo que a hidroxiapatita atuou predominantemente como suporte, sem exercer influência catalítica expressiva na formação dos produtos pirolíticos. Por outro lado, a amostra P3, contendo 10% de níquel, apresentou um aumento de aproximadamente 10% na fração de hidrocarbonetos em relação às pirólises P1 e P2



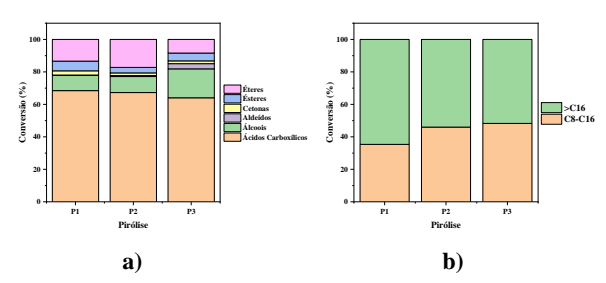
**Figura 5.** a) rendimentos das pirólises do OF (P1), HA em (P2), 10% NiHA (P3) e em b) a fração de compostos oxigenados e hidrocarbonetos da fração líquida para P1, P2 e P3.

Esse aumento indica que a presença de óxido de níquel (NiO), incorporado à estrutura ou à superficie da hidroxiapatita, favoreceu as reações de desoxigenação do óleo de fritura<sup>2</sup>. Os resultados obtidos corroboram com os dados de acidez e do estudo cinético, reforçando que o catalisador 10%NiHA é mais eficiente na conversão de compostos oxigenados em hidrocarbonetos durante o processo de pirólise.

A Figura 6a apresenta os percentuais das frações de compostos oxigenados obtidos nas pirólises do óleo de fritura residual, com e sem a presença de catalisadores. Observa-se que o teor de ácidos carboxílicos foi semelhante entre as três condições avaliadas (P1, P2 e P3), mantendo-se em torno de 65%. As concentrações de cetonas, aldeídos e ésteres foram baixas em todas as amostras. O teor de álcoois foi aproximadamente 9,5% nas pirólises P1 (térmica) e P2 (com HA), enquanto na pirólise P3 (com 10%NiHA) esse valor aumentou significativamente para 17,84%.

Em contrapartida, os teores de éteres foram mais elevados nas amostras P1 (13,37%) e P2 (17,20%) do que na amostra P3 (8,37%). Essa inversão nos teores de álcoois e éteres sugere que o catalisador 10%NiHA apresenta maior eficácia na quebra de ligações C–O dos éteres, promovendo sua conversão em álcoois de cadeia mais longa¹º. Esses resultados reforçam a atividade do catalisador na modificação do perfil químico do bio-óleo, favorecendo a formação de compostos com maior valor agregado.





**Figura 6.** a) percentuais de compostos oxigenados segundo suas funções orgânicas e b) percentuais de hidrocarboneto segundo número de carbono produzidos.

As frações de hidrocarbonetos geradas nas pirólises térmica e termocatalíticas são apresentadas na Figura 6b. Observa-se um aumento na fração de hidrocarbonetos na faixa de C8–C16 — correspondente aos combustíveis do tipo diesel verde e/ou combustível sustentável de aviação (SAF) — nas amostras tratadas com os catalisadores HA e 10%NiHA. Esse comportamento indica que os catalisadores favoreceram a quebra de cadeias carbônicas longas (>C16), promovendo a formação de frações mais leves e com maior valor energético. Em contraste, a pirólise térmica do óleo de fritura (P1) resultou predominantemente em compostos com mais de 16 átomos de carbono, sugerindo menor eficiência na fragmentação térmica das cadeias graxas.

## Conclusões

Com base nas análises de caracterização por DRX, FTIR, TGA/DTG, FRX e acidez via dessorção de n-butilamina, conclui-se que é viável sintetizar catalisadores de hidroxiapatita utilizando cascas de ovos como fonte alternativa e sustentável de cálcio. A impregnação de níquel na estrutura da hidroxiapatita promoveu um aumento significativo na acidez dos sítios fortes e na força acida do catalisador como sugere a Tabela 1, o que resultou em uma melhoria no perfil de hidrocarbonetos obtidos durante a pirólise (P3). Os resultados cinéticos, avaliados por meio dos modelos iso-conversionais Ozawa-Flynn-Wall (OFW) e Kissinger-Akahira-Sunose (KAS), apresentaram coeficientes de correlação (R²) próximos de 1,0, indicando que ambos os modelos são adequados para descrever a cinética das reações entre o óleo de fritura e os catalisadores.

As curvas de energia de ativação mostraram que o catalisador 10% NiHA possui maior eficiência na desoxigenação do óleo de fritura, evidenciada pela estabilização da Ea após 60% de conversão e pelo menor teor de oxigenados. Os resultados das pirólises (P1, P2 e P3) demonstraram um aumento na produção de hidrocarbonetos na faixa C8–C16 — correspondente ao diesel verde e/ou bioquerosene de aviação — quando catalisadores foram utilizados, especialmente na amostra P3. Além disso, observou-se uma conversão mais eficiente de éteres em álcoois de cadeia longa na presença do catalisador contendo



níquel, indicando seu papel relevante na modificação da composição dos produtos oxigenados.

# Agradecimentos

Os autores agradecem o apoio financeiro do Programa de Recursos Humanos da Agência Nacional do Petróleo, Gás Natural e Biocombustíveis – PRH/ANP, suportado com recursos provenientes do investimento de empresas petrolíferas qualificadas na Cláusulas de P, D&I da Resolução n°918/2023 ANP. Ao Laboratórios do LABPROBIO/NUPPRAR e LABPEMOL pela analises realizadas. Ao Instituo de Química e Programa de Pós-Graduação em Química da UFRN.

#### Referências

- D. J. N. Subagyno, N. M. Madani; C. Z. L. C. B. Prechisilia; N. S. Sahirah; D. U. Utami; A. M. Qosim; M. A. Kassim; R. Gunawan; V. L. Allo, *J. of Analytical and Applied Pyrolysis.* 2025, 186, 1-15.
- 2. B. Chen; Z. Zhou; Y. Li; K. B. Tan; Y. Wang; X. Rao; J. Huang; X. Zhang; Q. Li; G. Zhan, *Applied Catalysis B: Environmental*, **2023**, 338, 1-12.
- 3. G. Ionescu; M. Macavei; M. Patrascu; A. Volceanov; R. Patrascu; S. Werle; A. Mlonka-Mędrala; A. E. Coman; Aneta Magdziarz; C. Marculescu, *Energy Conversion and Management*, **2025**, 323, 1-10.
- 4. A. Mlonka-Mędrala; S. Sobek; M. Wądrzyk; S. Werle; M. Patraşcu; G. Ionescu; C. Marculescu; A. Magdziarz, *J. of Environmental Management*, **2025**, 373, 1-11.
- 5. J. Dobosz; M. Małecka; M. Zawadzki, *Journal of the Energy Institute*, **2018**, 91, 411–423.
- 6. J. P. da C. EVANGELISTA; A. M. de M. Araújo; A. D. Gondim; A. S. de Araujo, *Energy & Environment*, **2023**, 36, 786-806.
- A. C. de M. Batista; G. S. de M. Queiroz; I. M. de L. Ferreira, G. A. C. de M. Viana; A. M. de M. Araújo; L. N. Cavalcanti; A. S. de Araujo; M. S. de Sá, A. Wisniewski Jr., A. D. Gondim, Fuel, 2024, 365, 1-17.
- M. Mira; F. L. Leiteb; P. S. de P. H. Junior; F. L. Pissettia; A. M. Rossid; E. L. Moreirad; Y. P. Mascarenhase, *Materials Research*, 2012, 15, 622-627.
- 9. P. A. F. Sossa; B. S. Giraldo; B. C. G. Garcia; E. R. Parra; P. J. A. Arango, *Revista Matéria*, **2018**, 23, 1-17.
- 10. Yogita, P. Shiva Kumar, G. H. Gunasekar, N. Lingaiah, *Biomass and Bioenergy*, **2025**, 197, 1-13.
- 11. R. Tamim; D. Prasetyoko; S. Jovita; R. Subagyo; Y. L. Nimah; H. Holilah; H. Bahruji; N. Asikin-Mijan; A. A. Jalil; H. Hartati; D. D. Anggoro, *Renewable Energy*, **2025**, 248, 1-15.